

Riassunto della lezione precedente

- formula generale di Rosenbluth per scattering inclusivo (an)elastico; confronto con caso elastico puntiforme \rightarrow scaling
- fondamento del QPM: in regime cinematico di DIS ($Q^2, \nu \rightarrow \infty, x_B$ fissato) scaling \Rightarrow somma incoerente di scattering elastici su costituenti puntiformi fermionici in moto quasi libero
- Approssimazioni del QPM: fattorizzazione tra processo elementare (hard) sonda-partone e processi adronici tra partoni (soft) \Rightarrow convoluzione tra sez. d'urto elementare e distribuzione di densità partonica (somma incoerente di scattering elementari)
- Calcolo sez. d'urto elementare e confronto con formula di Rosenbluth in regime DIS; funzioni di struttura e densità partoniche; relazione di Callan-Gross

Componenti longitudinale e trasversa della risposta inclusiva

Generalizzazione del vettore di polarizzazione per γ^*

$$\begin{aligned} \varepsilon_{\pm}^{\mu} &= \mp \frac{1}{\sqrt{2}} \left(\varepsilon_x^{\mu} \pm i \varepsilon_y^{\mu} \right) & \text{con} & \quad \tilde{g}^{\mu\nu} = g^{\mu\nu} - \frac{q^{\mu} q^{\nu}}{q^2} \\ \varepsilon_0 &= \frac{1}{\sqrt{Q^2}} (|\mathbf{q}|, 0, 0, \nu) & & \quad = \sum_{\lambda} (-)^{\lambda} \varepsilon_{\lambda}^{\mu*} \varepsilon_{\lambda}^{\nu} \end{aligned}$$



ampiezza di scattering $\ell_{\mu} J^{\mu} = \ell_{\mu} \tilde{g}^{\mu\nu} J_{\nu}$

$$= \sum_{\lambda} (\ell_{\mu} \varepsilon_{\lambda}^{\mu*}) (J_{\nu} (-)^{\lambda} \varepsilon_{\lambda}^{\nu}) \equiv \sum_{\lambda} \ell_{\lambda} J_{\lambda}$$

$$\begin{aligned} \frac{d\sigma}{dE' d\Omega} &= \sigma_{\text{Mott}} \left[W_2 + 2 W_1 \tan^2 \frac{\theta_e}{2} \right] \\ &= \sigma_{\text{Mott}} \frac{Q^2}{\nu^2 + Q^2} \left[W_L + \left(1 + 2 \frac{\nu^2 + Q^2}{Q^2} \tan^2 \frac{\theta_e}{2} \right) W_T \right] \end{aligned}$$

Callan-Gross (continua)

$$\text{Rapporto : } R = \frac{W_L}{W_T} = \frac{-W_1 + \left(1 + \frac{\nu^2}{Q^2}\right) W_2}{W_1}$$



$$= \frac{F_2}{F_1} \frac{1}{2x_B} \left(1 + \frac{2Mx_B}{\nu}\right) - 1 \xrightarrow{\nu, Q^2 \rightarrow \infty} 0$$

osservazione sperimentale

Atwood *et al.*, P.L. **B64** 479 ('76)

$$2x_B F_1(x_B) = F_2(x_B) \quad \longleftrightarrow \quad R = \frac{W_L}{W_T} \rightarrow 0$$

che significa ?



Close, *An introduction to quarks and partons*, Fig. 9.8

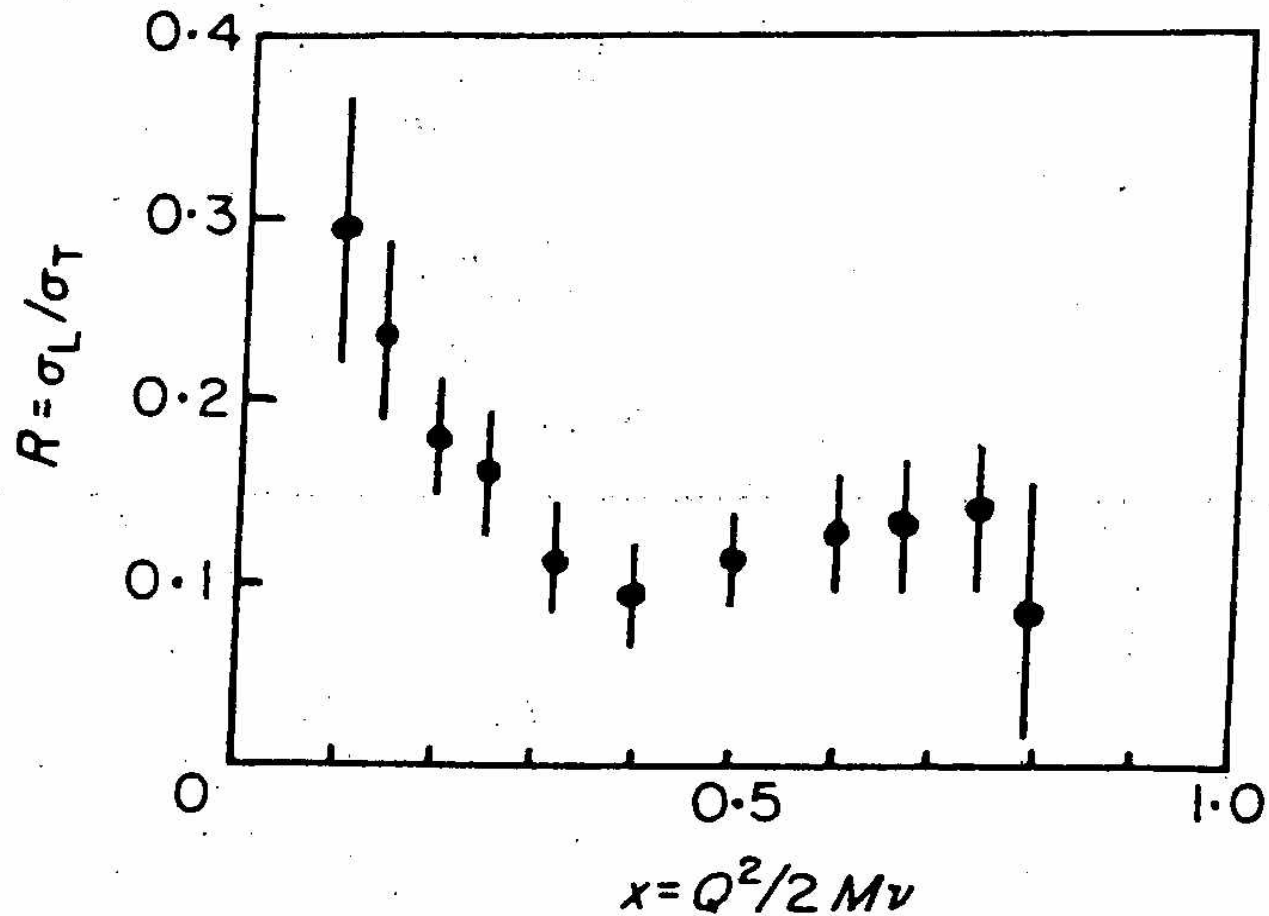


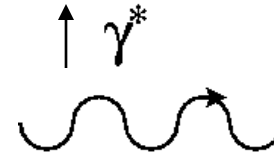
FIG. 9.8. $R \equiv \sigma_L / \sigma_T$ as a function of x .



Scattering nel Breit frame

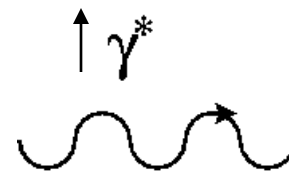
particella scalare (spin 0)

polarizzazione trasversa di γ^* porta $L_z=1$
 \Rightarrow non può essere assorbita $\Rightarrow W_T \rightarrow 0$



particella di Dirac (spin $1/2$)

interazione e.m. conserva l'elicità
 \Rightarrow il cambio $\Delta h = \pm 1$ compensa $L_z = 1$
 di polarizzazione trasversa di γ^*
 \Rightarrow polarizzazione longitudinale di γ^* non
 compensa $\Rightarrow W_L \rightarrow 0$



Callan-Gross



partoni hanno spin $1/2$

Primi anni '70 : - esplorazione sistematica delle proprietà del QPM
 - "inquadrare" il QPM in una teoria di campo

$$F_1(x_B) = \frac{1}{2} \sum_f e_f^2 \phi_f(x_B) \quad F_2(x_B) = x_B \sum_f e_f^2 \phi_f(x_B)$$

DIS su $N = \{ p, n \}$ → accesso a densità partoniche nel N

supponiamo $p = \{ uud \}$ e $n = \{ ddu \}$ cioè 2 flavor u, d e $\bar{u}, \bar{d} \sim 0$

4 incognite : $u_p(x_B)$, $d_p(x_B)$, $u_n(x_B)$, $d_n(x_B)$

2 misure : $F_2^p(x_B)$, $F_2^n(x_B)$ in $e^- + N \rightarrow e^- + X$

simmetria di isospin dell'interazione forte :

$$\begin{cases} u_p(x_B) = d_n(x_B) \\ d_p(x_B) = u_n(x_B) \end{cases}$$

→ 2 relazioni

sistema
determinato

Definizioni

$q_f(x)$ distribuzione di probabilità di avere un partone (quark) di flavor f con frazione x del momento dell'adrone genitore

$\bar{q}_f(x)$ idem per antipartone (antiquark)

$\sum_f (q_f(x) + \bar{q}_f(x)) \equiv \Sigma(x)$ distribuzione di singoletto (di flavor)

$q_f^v(x)$ distribuzione di partone (quark) di “valenza”

quark di valenza = quark che determina i n. quantici dell'adrone genitore

se ad ogni antiquark virtuale è associato quark virtuale (polarizzazione di vuoto \rightarrow produzione di coppia \sim quarkonio) allora “valenza” = i quark rimanenti dopo aver rimosso tutti quelli virtuali

definizioni (continua)

$q_f^{sea}(x)$ distribuzione di partone (quark) del “mare” di Dirac

quark del “mare” **non** determina i n. quantici dell’adrone genitore

se si immagina che l’adrone abbia carica = 0 (e quindi anche i quark di valenza abbiano carica =0), il contributo rimanente alla funzione di struttura in DIS proviene dalle distribuzioni di partoni del “mare”.

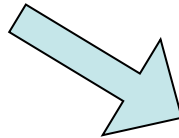
quindi $q_f(x) \equiv q_f^v(x) + q_f^{sea}(x)$

si assume $q_f^{sea}(x) = \bar{q}_f^{sea}(x)$

$$q_f^v(x) = q_f(x) - \bar{q}_f(x)$$

Normalizzazione

$$e_N = \sum_{f, \bar{f}} e_f \int_0^1 dx q_f(x)$$



$$1 = \int_0^1 dx \left[\frac{2}{3} (u(x) - \bar{u}(x)) - \frac{1}{3} (d(x) - \bar{d}(x)) \right]$$

$$0 = \int_0^1 dx \left[\frac{2}{3} (d(x) - \bar{d}(x)) - \frac{1}{3} (u(x) - \bar{u}(x)) \right]$$



$$2 = \int_0^1 dx [u(x) - \bar{u}(x)] \equiv \int_0^1 dx u^v(x)$$

$$1 = \int_0^1 dx [d(x) - \bar{d}(x)] \equiv \int_0^1 dx d^v(x)$$



$$\text{DIS } \begin{aligned} e^- + p &\rightarrow e'^- + X \\ e^- + n &\rightarrow e'^- + X \end{aligned}$$

in Born approximation, cioè Q^2 tale per cui scambio di γ^* , ma non di W^\pm , Z^0

2 flavors : $f = u, d$

simmetria di isospin : $u_p = d_n$
 $d_p = u_n$

$$2F_1(x_B) = \frac{F_2(x_B)}{x_B} = \sum_{f, \bar{f}} e_f^2 q_f(x_B)$$

$$= \begin{cases} \text{protone} & \frac{4}{9} [u_p(x_B) + \bar{u}_p(x_B)] + \frac{1}{9} [d_p(x_B) + \bar{d}_p(x_B)] \\ \text{neutrone} & \frac{4}{9} [u_n(x_B) + \bar{u}_n(x_B)] + \frac{1}{9} [d_n(x_B) + \bar{d}_n(x_B)] \\ & = \frac{4}{9} [d_p(x_B) + \bar{d}_p(x_B)] + \frac{1}{9} [u_p(x_B) + \bar{u}_p(x_B)] \end{cases}$$

$$4 \geq \frac{F_2^{e^-n}}{F_2^{e^-p}} = \frac{[u(x_B) + \bar{u}(x_B)] + 4 [d(x_B) + \bar{d}(x_B)]}{4 [u(x_B) + \bar{u}(x_B)] + [d(x_B) + \bar{d}(x_B)]} \geq \frac{1}{4}$$

sperimentalmente si osserva

$$1 \quad \leftarrow \quad x_{B \rightarrow 0} \quad \frac{\nu W_2^{e^-n}}{\nu W_2^{e^-p}} = \frac{F_2^{e^-n}}{F_2^{e^-p}} \quad \rightarrow \quad x_{B \rightarrow 1} \quad \frac{1}{4}$$

Close, *An introduction to quarks and partons*, Fig. 11.3

dati da

Bloom, in *Proc. of 6th Int. Symp. On Electron and Photon Interactions*, Bonn ('73)

Bodek *et al.*, P.L. **B51** 417 ('74)

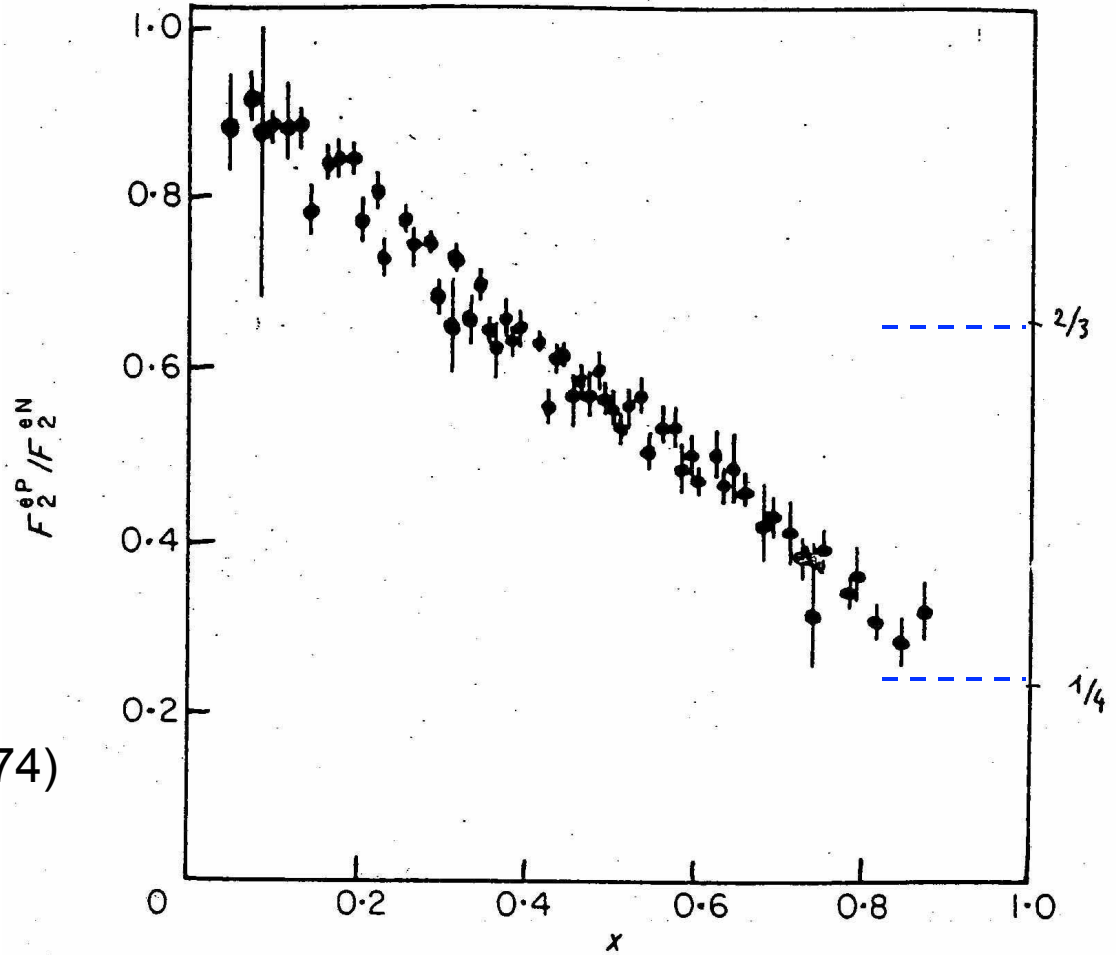


FIG. 11.3. The ratio $\nu W_2^{eN}/\nu W_2^{eP}$ as a function of x .

$$\frac{F_2^{e^-n}}{F_2^{e^-p}} = \frac{[u(x_B) + \bar{u}(x_B)] + 4 [d(x_B) + \bar{d}(x_B)]}{4 [u(x_B) + \bar{u}(x_B)] + [d(x_B) + \bar{d}(x_B)]}$$

ricorda : $q_f(x_B) = q_f^v(x_B) + q_f^{sea}(x_B)$

supponiamo : $\bar{u}^v(x_B) = \bar{d}^v(x_B) = 0$ (ragionevole in $N!$)

supponiamo : $u^{sea}(x_B) = \bar{u}^{sea}(x_B) = d^{sea}(x_B) = \bar{d}^{sea}(x_B) \equiv K(x_B)$



simmetria del “mare” di Dirac
(pericolosa in QCD !)

$$1 \xleftarrow{x_B \rightarrow 0} \frac{F_2^{e^-n}}{F_2^{e^-p}} = \frac{u^v(x_B) + 4d^v(x_B) + 10K(x_B)}{4u^v(x_B) + d^v(x_B) + 10K(x_B)} \xrightarrow{x_B \rightarrow 1} \frac{1}{4}$$

u_p^v dominante
(d_n^v “)

dominanza del “mare” (K)
(produzione di coppie
indipendente da flavor)

naïve Hp: $u_p^v = 2 d_p^v$ ($|e_u|=2|e_d|$)

$$\Rightarrow \frac{F_2^{e^-n}}{F_2^{e^-p}} \rightarrow \frac{2}{3} \neq \frac{1}{4} \quad !$$



sempre con le ipotesi precedenti, cioè

$$\begin{cases} \bar{u}^v(x_B) = \bar{d}^v(x_B) = 0 \\ u^{sea}(x_B) = \bar{u}^{sea}(x_B) = d^{sea}(x_B) = \bar{d}^{sea}(x_B) \equiv K(x_B) \end{cases}$$

consideriamo

$$\begin{aligned} \frac{1}{x_B} \left[F_2^{e^-p}(x_B) - F_2^{e^-n}(x_B) \right] &= \frac{1}{9} [4u^v(x_B) + d^v(x_B) + 10K(x_B)] \\ &\quad - \frac{1}{9} [4d^v(x_B) + u^v(x_B) + 10K(x_B)] \\ &= \frac{1}{3} [u^v(x_B) - d^v(x_B)] \end{aligned}$$

distribuzione di non-singoletto ;

informazioni su quark di valenza senza contaminazione del “mare” ;

differenza tra p e n sta nei quark di valenza dominanti (u e d , rispettiv.)

dati sperimentali per

$$\nu W_2^{e^-p} - \nu W_2^{e^-n} = F_2^{e^-p} - F_2^{e^-n} = \frac{1}{3} x_B [u^v(x_B) - d^v(x_B)]$$

Close, *An Introduction to quarks and partons*, Fig. 11.6

Bloom, in *Proc. of 6th Int. Symp. On Electron and Photon Interactions*, Bonn ('73)

Bodek *et al.*, P.L. **B51 417** ('74)

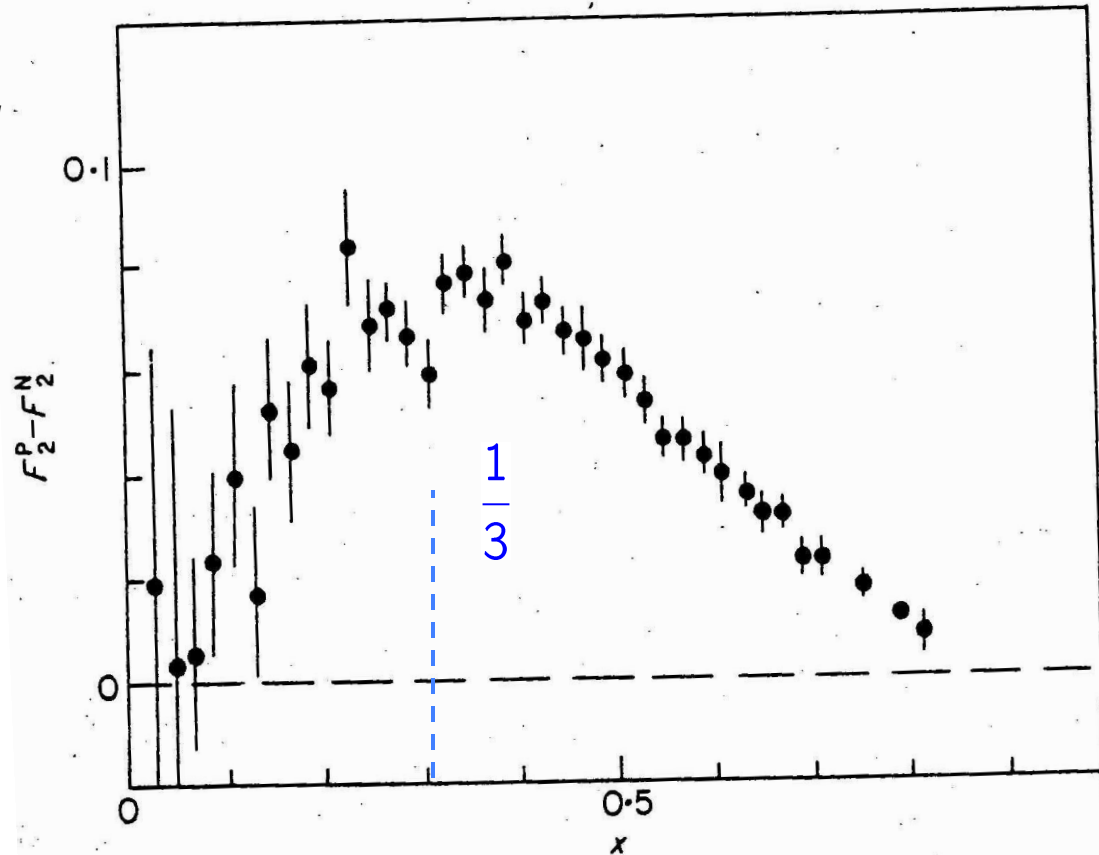


FIG. 11.6. $\nu W_2(ep) - \nu W_2(en)$ data as a function of x .

Interpretazione

Close, *An Introduction to quarks and partons*, Fig. 11.5

il N è costituito da 3 quark di valenza che portano ciascuno $1/3$ del momento; differenza tra p e n sta nel quark dominante (rispettiv. u e d)
⇒ Constituent Quark Model (CQM)

moto di Fermi dei quark confinati smussa la distribuzione (analogo del picco quasi-elastico per scattering e^- - nucleo)



per piccoli x_B contributi di gluone e polarizzazione di vuoto (violazione dello scaling ; correzioni di QCD perturbativa)

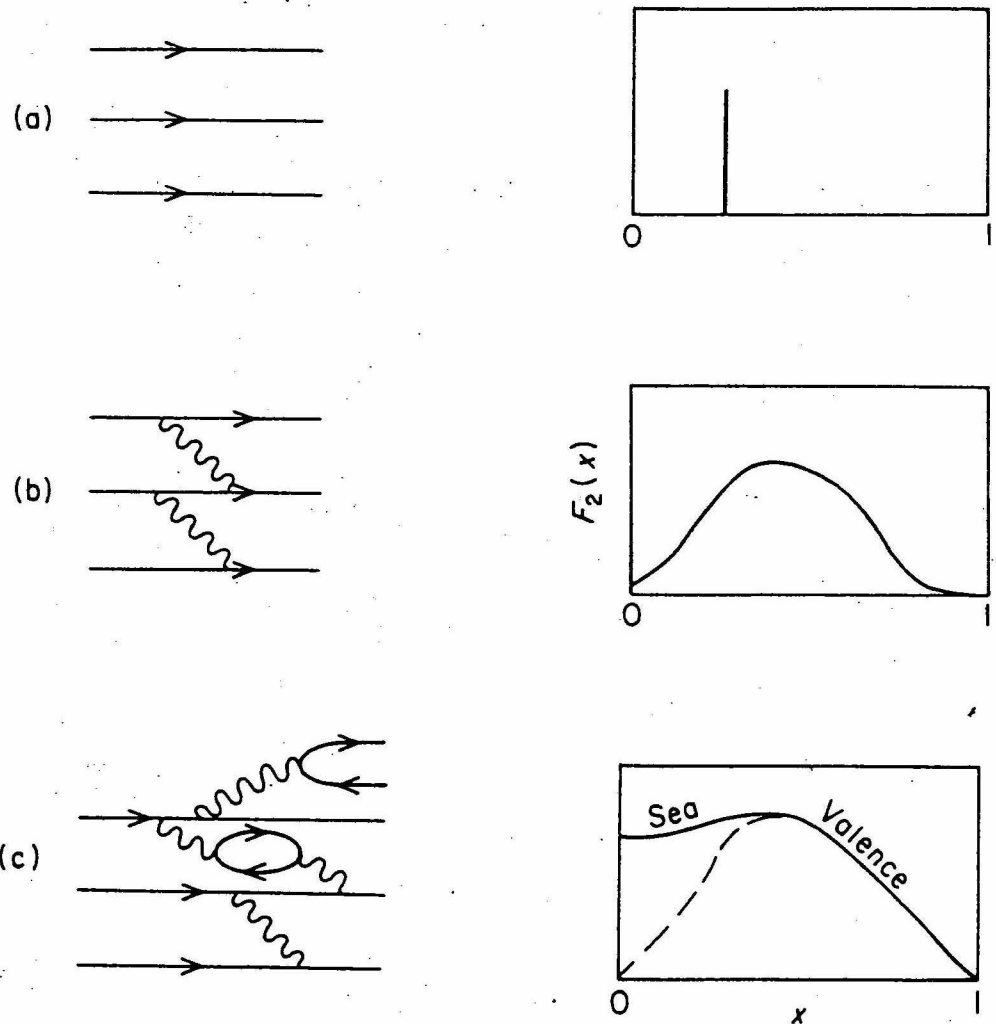


FIG. 11.5. Development of $F_2(x)$.

Normalizzazione delle distribuzioni di quark di valenza

$$2 = \int_0^1 dx [u(x) - \bar{u}(x)] \equiv \int_0^1 dx u^v(x)$$

$$1 = \int_0^1 dx [d(x) - \bar{d}(x)] \equiv \int_0^1 dx d^v(x)$$



$$\int_0^1 dx_B \frac{1}{x_B} \left(F_2^{e^-p}(x_B) - F_2^{e^-n}(x_B) \right)$$
$$= \frac{1}{3} \int_0^1 dx_B (u^v(x_B) - d^v(x_B)) = \frac{1}{3}$$

dato sperimentale

$0.28 \pm ?$



problemi a piccoli x_B

Bloom, in Proc. 6th Int. Symp.
On Electron and Photon
Interaction, Bonn ('73)

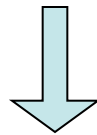
$$\frac{F_2^{e^{-n}}}{F_2^{e^{-p}}} = \frac{u^v(x_B) + 4d^v(x_B) + 10K(x_B)}{4u^v(x_B) + d^v(x_B) + 10K(x_B)}$$

$$F_2^{e^{-p}} - F_2^{e^{-n}} = \frac{1}{3} x_B [u^v(x_B) - d^v(x_B)]$$

$$\frac{F_2^{e^{-p}} + F_2^{e^{-n}}}{x_B} = \frac{1}{9} [5(u^v(x_B) + d^v(x_B)) + 20K(x_B)]$$



3 relazioni per 3 incognite : $u^v(x_B)$, $d^v(x_B)$, $K(x_B)$



Informazioni su distribuzioni di valenza e del “mare”

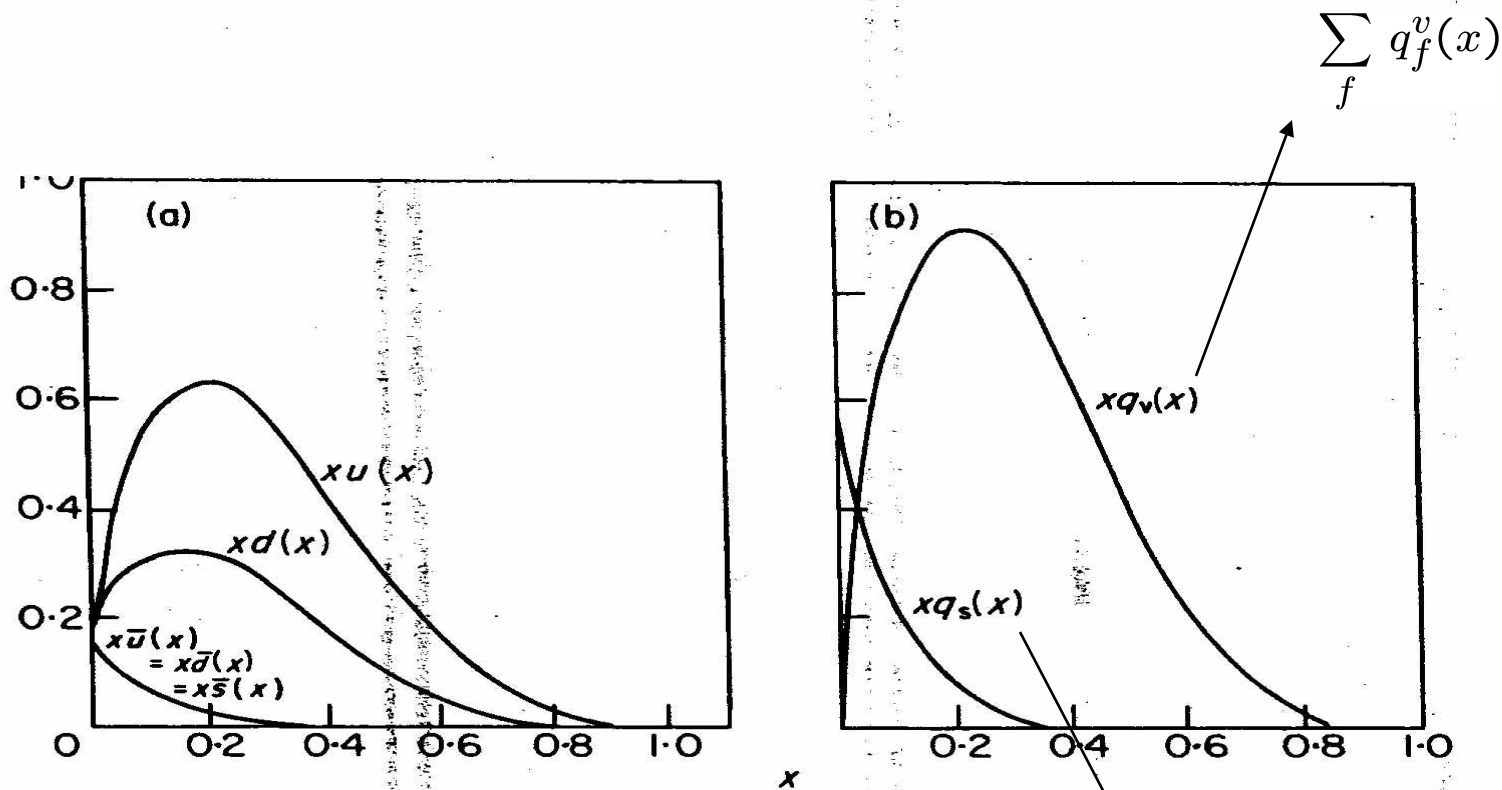


FIG. 11.13. x Dependence of parton distribution functions: (a) all the u and d quarks in the proton and for \bar{u} , \bar{d} , \bar{s} in the sea; (b) valence quarks $q_v(x)$ and sea $q_s(x)$. The sea is assumed to be an $SU(N)$ singlet.

$$\sum_f [q_f^{sea}(x) + \bar{q}_f^{sea}(x)] \equiv \Sigma^{sea}(x)$$

Necessità di allargare il campo di indagine

- fino a qui, flavor = u, d . Approssimazione insufficiente :
necessità di altri flavor per spiegare spettro adronico
produzione di coppie anche per flavor più pesanti (al crescere di Q^2)
⇒ considerare anche DIS di (anti)neutrino
- QPM in DIS = convoluzione tra scattering hard e distribuzione di probabilità
scatt. hard = scatt. elastico su fermioni puntiformi liberi → QED (come per
scatt. su leptoni)
distribuz. probabilità = incognita deducibile dall' esperimento
⇒ portata generale : larga classe di fenomeni ad alta energia descrivibile
come convoluzione di processo hard (calcolabile con QED) e di
distribuzioni di probabilità universali (tipiche del bersaglio) deducibili dal
confronto con l' esperimento → estendere QPM a e^+e^- e Drell-Yan

- nello spettro mesonico e barionico evidenza del terzo flavor $s(x)$
BNL, 1974: scoperta della risonanza J/ψ , interpretabile come stato $c\bar{c}$
- osservazione di processi deboli con cambio di stranezza : $K^\pm \rightarrow \mu^\pm \nu$
- CERN, 1973: osservazione di correnti “neutre” in processi
 $\nu(e^-) + p \rightarrow \nu(e^-) + p$
- prime idee (\sim ' 60) sull'unificazione delle teorie dell'interazione
elettromagnetica e debole
(Feynmann, Gell-Mann, Glashow, Weinberg..)

Ma i partoni sono autostati dell'interazione forte, non di quella elettrodebole

$$|\text{parton}\rangle_{weak} = \sum_f V_f |\text{parton}_f\rangle_{strong} \quad V_f \in \text{SU}(N_f)$$

↓

Settore elettrodebole del Modello Standard

Nobel 1979: Glashow, Weinberg, Salam

Genesi del Modello Standard elettrodebole

(brevi cenni)

- prime ipotesi (Feynmann Gell-Mann, '58 ; Glashow, '61) :
interazioni deboli cariche (W^\pm) legate a interazione e.m. isovettoriale (γ) da rotazione di isospin; i leptoni e i quark sinistrorsi (left-handed) sono quindi organizzati in doppietti di isospin debole T secondo la simmetria $SU(2)_T$

$$\begin{array}{cccc} \left(\begin{array}{c} \nu_e \\ e^- \end{array} \right)_L & \left(\begin{array}{c} \nu_\mu \\ \mu^- \end{array} \right)_L & \left(\begin{array}{c} u \\ d_\theta \end{array} \right)_L & \left(\begin{array}{c} ? \\ s_\theta \end{array} \right)_L \end{array}$$

dove $d_\theta = d \cos \theta_C + s \sin \theta_C$; $s_\theta = -d \sin \theta_C + s \cos \theta_C$ θ_C angolo di Cabibbo
 d, s autostati di interazione forte
 d_θ, s_θ autostati di interazione debole

- Commenti:
- **necessità di un quarto flavor, il quark charm (scoperto nel '74)**
 - **transizioni left-handed tra ν e e^-/μ^- , tra quarks, via W^\pm**
 d_θ, s_θ spiegano reazioni del tipo $K^\pm \rightarrow \mu^\pm \nu$

Genesi..... (continua)

- ipotesi della carica debole Y (Glashow, '61): ulteriore struttura $U(1)_Y$

i quark hanno carica e.m. $e_f = Y + \frac{1}{2} T_3$
 carica debole $Y = \frac{1}{2} (B + S)$

riepilogo dei numeri quantici

	B	S	Y	T_3	e_f
u	$\frac{1}{3}$	0	$\frac{1}{6}$	1	$\frac{2}{3}$
d	$\frac{1}{3}$	0	$\frac{1}{6}$	-1	$-\frac{1}{3}$
s	$\frac{1}{3}$	-1	$-\frac{1}{3}$	0	$-\frac{1}{3}$

- teoria elettrodebole: i fermioni

interagiscono attraverso i bosoni di gauge \mathbf{W}, B

$$\mathcal{L}_{\text{weak}} = g \bar{\psi} \frac{\mathbf{T}}{2} \psi \cdot \mathbf{W} + g' \bar{\psi} Y \psi B^0 \quad g, g' \text{ couplings incognite}$$

invarianza per $SU(2)_T \otimes U(1)_Y$ e fermioni / bosoni di gauge massless
 \Rightarrow teoria rinormalizzabile non-abeliana, perche' $[W_i, W_j] = i \varepsilon_{ijk} W_k$

Ma $m_W \neq 0$! Altrimenti si vedrebbe in β / K decays